

## جداسازی بخشی از ژن ترانسفرین (TTf) از رقم به گندم زراعی تحت تیمار تنش شوری

**Isolation of partial cDNA of transferring gene (TTf) from Bam wheat  
cultivar under salinity stress treatment**

نادر رحیمی اسفنجانی<sup>۱</sup> و علیرضا تاری نژاد<sup>۲\*</sup>

Nader Rahimi Esfanjani<sup>1</sup> and Alireza Tarinejad<sup>2\*</sup>

۱- دانشجوی کارشناسی ارشد گروه بیوتکنولوژی دانشگاه شهید مدنی آذربایجان

۲- استادیار گروه بیوتکنولوژی دانشگاه شهید مدنی آذربایجان

۱- MSc. Student of Biotechnology Department, Faculty of Agriculture, Azarbaijan  
Shahid Madani University.

۲- Assistant Professor of Biotechnology Department, Faculty of Agriculture,  
Azarbaijan Shahid Madani University.

\* نویسنده مسئول مکاتبات، پست الکترونیکی: atarinejad@yahoo.com

(تاریخ دریافت: ۹۱/۱۲/۲ - تاریخ پذیرش: ۹۲/۷/۲۱)

چکیده

در میان تنش‌های غیرزنده، تنش شوری شدیدترین تنش محیطی است که پاسخ به آن، بیان ژن‌های گوناگونی را در گیاه‌القا می‌کند که محصولات آن‌ها به طور مستقیم یا غیرمستقیم در حفاظت از گیاهان در مقابل تنش نقش دارند. خاک‌ها به طور معمول دارای ۱-۵ درصد آهن کل هستند که به راحتی برای گیاهان قابل استفاده نیست. ترانسفرین‌ها پروتئین‌های عمومی حامل آهن در سلول‌های جانوری هستند و در پیوند شدن، متحرک کردن و تحویل دادن یون‌های فریک نقش دارند. در این پژوهش سعی شد وجود ژن ترانسفرین (که تاکنون وجود آن در گیاهان عالی گزارش نشده است) در گندم زراعی بررسی و در صورت وجود، جداسازی، کلون و سپس تعیین توالی شود. برای این منظور، بدور رقم به گندم زراعی در گلدان‌ها کشت و با آب نمک با ECهای ۱۰ و ۱۵ (ds/m) به ترتیب به مدت ۵ و ۱۰ روز تحت تنش شوری قرار گرفتند و در مراحل مختلف رشد بوته‌ها، از برگ‌های جوان آن‌ها نمونه برداری صورت گرفت. آر.ان.ای کل با استفاده از تریزول استخراج و سپس ساخت cDNA با استفاده از آنزیم M-MuLV انجام شد. از روی cDNA ساخته شده توالی ژن هدف با واکنش پی.سی.آر تکثیر شد و در نهایت، واکنش لیگاسیون بین دی.ان.ای الحاقی (بخشی از ژن ترانسفرین) و وکتور pGEM-TEasy انجام و گلندی‌های ترانسفرین شده از طریق سیستم گزینش بلو-وایت شناسایی شدند. بعد از همسانه سازی ژن TTf جداسازی شده و تعیین توالی، توالی بدست آمده شباهت ۸۴ درصدی با توالی ثبت شده موجود در NCBI نشان داد. نتایج این پژوهش وجود ژن ترانسفرین در گیاهان عالی و نیز نقش آن در مقاومت به تنش شوری در آن‌ها را به اثبات رساند و این اولین گزارش از حضور ژن ترانسفرین در گیاهان عالی بعد از جلبک‌ها است.

واژه‌های کلیدی

جداسازی ژن  
ژن ترانسفرین (TTf)  
رقم به گندم زراعی  
تنش شوری

## مقدمه

(Lamberta et al., 2005)

انتقال آهن از غشا سلولی توسط ترانسفرین، از طریق یک مکانیسم فاگوسیتویک (اندوسیتویک) و با وساطت یک گلیکوپروتئین غشایی به نام گیرنده ترانسفرین انجام می‌شود. احتمال دارد گیرنده‌های ترانسفرین به استثنا سلول‌های بسیار تمایزیافته روی تمام سلول‌ها بیان شوند (در مقادیر بسیار متفاوت). بیان گیرنده‌های ترانسفرین توسط آهن (Fe<sup>3+</sup>) موجود بر روی ناحیه از طریق عناصر پاسخگو به آهن (IREs<sup>1</sup>) موجود در مرحله پس از غیرترجمه‌ای mRNA می‌گیرنده ترانسفرین، در مرحله پس از رونویسی به طور منفی تنظیم می‌شود. IREها توسط پروتئین‌های سیتوپلاسمی ویژه به نام IRPs (پروتئین‌های تنظیمی آهن) تشخیص داده می‌شوند که در غیاب آهن به IREها mRNA گیرنده ترانسفرین متصل می‌شوند و از تجزیه آنها جلوگیری می‌کنند. جذب آهن از ترانسفرین شامل اتصال ترانسفرین به گیرنده ترانسفرین، درونی‌سازی ترانسفرین به داخل یک کیسه اندوسیتویک از طریق گیرنده واسطه در اندوسیتوز و رها کردن آهن از پروتئین ترانسفرین از طریق کاهش در pH داخلی کیسه Litwin and Calderwood, 1993; Schwarz et al., 2003 و زیکول اندوسیتوزی ۵/۵ یا کمتر از آن است که این باعث تفکیک آهن از کمپلکس گیرنده-ترانسفرین می‌شود، اما آپوترانسفرین (ترانسفرین عاری از آهن) متصل به این گیرنده باقی می‌ماند. آهن داخل سلول باقی می‌ماند و مجموعه‌ی گیرنده‌های آپوترانسفرین به سطح سلول بازیافت می‌شوند Dunaliella (Dautry-Varsat et al., 1983). جلبک تکسلولی Salina نیز با مکانیسمی مشابه آهن را وارد سلول کرده و در واکرnel‌های اسیدی درونی‌سازی می‌کند (Pick et al., 2006). این جلبک یک گیاه مدل استثنایی برای آشکار کردن مکانیسم‌های مقاومت به شوری موجودات فتوستیک است که توانایی زنده ماندن در شوری‌های با غلظت بالاتر از اشباع NaCl را دارد (Fisher et al., 1997).

کمبود آهن دو پروتئین شبه ترانسفرین عمدۀ در غشا پلاسمایی جلبک *D. salina* القاء می‌کند، TTf یا p150، یک پروتئین ۱۵۰

<sup>1</sup> Iron Response Elements عناصر پاسخ به آهن، یک ساختار کوتاه حلقه-ساقه حفاظت شده هستند که توسط پروتئین‌های تنظیمی آهن (IRPs) متصل می‌شوند.

خاک‌ها به طور معمول دارای ۱-۵ درصد آهن کل هستند. بیشتر آهن موجود در خاک به شکل مواد معدنی سیلیکاتی یا اکسید و هیدروکسید آهن است که به راحتی برای گیاهان قابل استفاده نیستند. گیاهان می‌توانند آهن را به اشکال Fe<sup>2+</sup> (فروس) و (فریک) جذب کنند. گیاهان دو مکانیسم عمدۀ برای جذب آهن به کار می‌گیرند که یکی شامل کلاته کردن آهن از طریق ترشح ترکیباتی به نام سیدروفورزها که با پیوند شدن با آهن قابلیت حل شدن آن را افزایش می‌دهد و دیگری، ترشح پروتون (H<sup>+</sup>) و احیاکننده‌ها توسط ریشه گیاهان برای کاهش مقدار pH در ناحیه Cohen et al., 1998 اطراف ریشه برای افزایش محلولیت آهن است ().

گندم یک گیاه متحمل به شوری زیاد است و بسیاری از کولتیوارهای آن تا شوری‌های ۱۵ ds/m<sup>۰</sup> با حفظ توان تولید ۵۰ درصد ماده خشک، قدرت رشد دارند. ترانسفرین‌ها پروتئین‌های عمومی حامل آهن در سلول‌های جانوری هستند و در پیوند شدن، متحرک کردن و تحويل دادن یون‌های فریک نقش دارند (Fisher et al., 1997). ترانسفرین‌پلاسمایک گلیکوپروتئین با وزن مولکولی در حدود ۸۰ کیلو Dalton، با دو ناحیه همولوگ در انتهای C و N برای پیوند شدن با آهن است. در اصل، همه آهن در گردش پلاسمابه‌طور طبیعی متصل به ترانسفرین است (Ponka and Lok, 1999). یون فریک برای جفت شدن با ترانسفرین فقط به مشارکت یک آنیون (به‌طور معمول کربنات) نیاز دارد. همچنین پروتئین‌های ترانسفرین در برقراری همنوستازی آهن سلول، از طریق کمک کردن به سلول‌ها برای تنظیم میزان جذب آهن از سطح خارج سلولی، نقش ایفا می‌کنند. در کشت سلولی نیز، برای افزایش کیفیت و کمیت سلول‌ها به محیط کشت سلول، ترانسفرین اضافه می‌کنند تا سلول‌ها به اندازه کافی با آهن تجهیز شده باشند (Laskey, 1998). خانواده ترانسفرین‌ین بین مهره‌داران و بی‌مهرگان پلی را برقرار می‌کند، چرا که باقی مانده‌های مرتبط با پیوند شوندگی آهن و آنیون در بین انواع ترانسفرین‌ها (ترانسفرین سرم، اوووترانسفرین، لاکتوفرین، ملانوترانسفرین، مهارکننده کربونیکانهیدراز، یک پروتئین از خرچنگ و یک پروتئین از جلبک سبز) حفاظت شده هستند

مدارک زیادی وجود دارد که شوری، آنزیم‌های فتوستتزری، کلروفیل‌ها و کاروتونوئیدها را تحت اثر قرار می‌دهد. این نیز ثابت شده است که شوری ناشی از نمک NaCl روی کارابی فتوسیستم II اثر منفی دارد (Qin et al., 2010). تنش شوری غشاها زیستی را ناپایدار کرده و در محلولیت بسیاری از یون‌ها و سوبسترها ضروری اثرگذار است (Katz et al., 2007; Jitesh et al., 2007). شوری خاک مهم‌ترین عامل محدودکننده رشد و نمو گیاهان در مناطق خشک و نیمه‌خشک بوده که مهم‌ترین علت آن هم آبیاری با آب‌های شور است (Turan et al., 2010). شور شدن خاک اثرهای منفی زیادی روی ویژگی‌های فیزیکی و شیمیایی خاک، میکروارگانیسم‌های آن و نیز گیاهان دارد. تجمع نمک‌ها در خاک pH آن را تحت اثر قرار می‌دهد که مهم‌ترین ویژگی شیمیایی خاک به شمار می‌رود چرا که روی قابلیت دسترسی مواد مغذی برای گیاهان اثرگذار است. در pH‌های بالای خاک، عناصری مثل Zn, Cu, Mn و Fe قابلیت دسترسی کم‌تری دارند. آهن در pH‌های بین ۴ تا ۷ قابلیت دسترسی بالایی دارد. آهن یک عنصر ضروری برای بقا همه موجودات زنده است. موجودات فتوستتیک نیاز ضروری برای آهن به عنوان کوفاکتور برای چندین عنصر دیگر در سیستم انتقال الکترون خود دارند (Paz et al., 2007). کمبود آهن یک عامل محدودکننده برای رشد گیاهان بوده و عملکردهای مهمی در گیاهان دارد که می‌توان به نقش آن در ساختمان و عملکرد کلروفیل، انتقال انرژی در داخل گیاه، تثیت نیتروژن، به عنوان جز ساختاری برخی از آنزیم‌ها و پروتئین‌ها و نقش اصلی آن که در فرآیندهای فتوستزر و تنفس است، اشاره کرد (Connolly and Guerinot, 2002).

هدف از انجام این پژوهش جداسازی ژن بیان‌کننده ترانسفرین و بررسی وجود آن در ارقام ایرانی گندم زراعی بود. با توجه به اینکه گندم یک گیاه به طور نسبی متتحمل به شوری و دسترسی پایین آهن بود، بنابراین فرضیه وجود ژن ترانسفرین در گندم کولتیوار بم مقاوم به شوری شکل گرفت.

## مواد و روش‌ها

### مواد گیاهی و ژنتیک

در این پژوهش از بذور رقم بم گندم زراعی به عنوان رقم متتحمل

کیلودالتونی و یک پروتئین دیگر به نام id100 که از نظر توالی اسید‌آمینه‌ای تنها ۳۰ درصد به TTF شباهت دارد (Schwarz et al., 2003). در جلبک *Dunaliella* افزایش قابل توجه مقدار پروتئین Tf یا P150 (یک پروتئین شبه‌ترانسفرین) با بالا رفتن میزان شوری محیط کشت و یا تخلیه آهن از آن از طریق نشان‌دار Fisher et al., 1997; Katz et al., 2007) تایید شده است که جذب آهن در این گیاه به واسطه پروتئین TTf که به یون‌های  $Fe^{3+}$  پیوند می‌خورد، انجام می‌گیرد (Paz et al., 2007). این پروتئین یک پروتئین سطحی غشا پلاسمایی ۱۵۰ کیلودالتونی است که براساس توالی استنباط شده از cDNA ژن ترانسفرین در تا سال ۱۹۹۶ فقط در جانوران شناسایی شده بود تعلق دارد. این اولین گزارش از وجود یک پروتئین شبه‌ترانسفرین در یک موجود فتوستتیک بود (Fisher et al., 1997). این پروتئین مشخصات مشابهی از قبیل اختصاصی بودن میل ترکیبی بالا برای یون‌های  $Fe^{3+}$ ، وابستگی شدید روی یون‌های کربنات و بیکربنات و فعالیت خیلی پایین در pH‌های اسیدی با ترانسفرین‌های جانوری نشان داد. اثبات شده است که یون‌های فلزی دیگر، جذب آهن را مختل نمی‌کنند و یک گزینش بسیار قوی در سیستم انتقال یون‌های  $Fe^{3+}$  حاکم است (Fisher et al., 1998). این پروتئین TTf در غلاظت‌های بالای شوری احتمال دارد به دلیل کاهش آهن در دسترس موثر باشد. این کاهش ممکن است نتیجه اثر نمک روی محلولیت  $Fe^{3+}$  و یا دخالت نمک در ماشین جذب آهن باشد (Fisher et al., 1997). ثابت شده است که شرایط شوری شدید به طور مستقیم باعث تجمع پروتئین TTf نمی‌شود و اثر آن به طور غیرمستقیم و با کم کردن قابلیت دسترسی آهن است و نیز ثابت شده است که میل ترکیبی یون‌های آهن به سختی به وسیله شوری شدید تحت تاثیر قرار می‌گیرد (Katz et al., 2007). این نتایج نشان می‌دهد که ترانسفرین‌هایی که تا سال ۱۹۹۶ فقط در جانوران شناسایی شده بودند در سیستم‌های گیاهی نیز در انتقال آهن حضور و نقش دارند (Fisher et al., 1998). تنش شوری ناشی از نمک NaCl باعث کاهش رشد رویشی، عدم تعادل ریزمغذی‌ها، مهار فتوستزر، کمبود آب و سمیت یونی مرتبط با  $Cl^-$  و  $Na^+$  اضافی، در گیاهان می‌شود (Turan et al., 2010).

مقدار ۲۵۰ mg ۲۰۰-۲۰۰ از آن در تیوب ml RNase Free ۱/۵ استریل ریخته شد. مقدار ۱ml ۵۰۰ تریزول به آن اضافه و ۴۰ ثانیه ورتسکس



شکل ۱- تصویر بوتهای رقم بم گندم زراعی. الف: ۱۵ روز پس از کاشت. ب: ۳۵ روز پس از کاشت.

Figure 1- Image of Bam wheat cultivar plants. A: 15 days after planting. B: 35 days after planting.

و ۱۰ دقیقه در دمای اتاق نگهداری شد. سپس مقدار ۱ml ۲۰۰ کلروفرم به آن اضافه و با محتویات تیوب مخلوط و ۱۰ دقیقه در دمای اتاق قرار داده شد. پس از ۱۵ دقیقه سانتریفیوژ با سرعت ۱۴۰۰۰rpm در دمای ۴ درجه سانتی گراد انجام و فاز بالایی به تیوب ۱/۵ ml RNase Free استریل منتقل شده و آر.ان.ای در استفاده از روش ایزوپروپانول خالص سازی شد و آر.ان.ای در نهایت در ۱ml ۲۰۰ آب مقطر استریل حل شد. آر.ان.ای استخراج شده به نسبت ۱ به ۱۰ با آب مقطر استریل رقیق شده و با استفاده از دستگاه اسپکتروفوتومتری و رقت ۱ به ۷۰ غلظت آن به طور میانگین برآورد شد. برای بررسی کیفیت آر.ان.ای، نمونه‌ها روی ژل آگارز ۱ درصد بارگذاری شدند.

#### cDNA ساخت

برای ساخت cDNA، محلول واکنش شامل آب مقطر استریل به مقداری که حجم واکنش به ۱ml ۲۰۰ برسد، ۴ µg از آر.ان.ای استخراج شده، ۵۰ µM آغازگر معکوس، ۵۰ µM آغازگر پلی T، ۵۰ µM آغازگر Random Hexamer، ۱۰ mM مخلوط dNTP در حجم ۱ml در تیوب استریل ۰/۵ ml تهیه شده و ۵ دقیقه در دمای ۶۵ درجه سانتی گراد (در دستگاه ترمومیکسر) و سپس ۱۴ µl بافر تامپون X ۱۰ مخصوص آنزیم M-MuLV، ۱ میکرولیتر DTT، ۱ میکرولیتر (۵۰ mM) MgCl<sub>2</sub>، ۱ میکرولیتر

به شوری استفاده شد. در طول مراحل انجام این تحقیق از تریزول شرکت Merck، نژاد Top10 باکتری *Escherichia coli* کیت ساخت cDNA، مارکر VC 1kb DNA Ladder و آنزیم و بافر T4 PCR Master Mix، ViVantis DNA ligase شرکت Promega، آنزیمهای RNasine و RNaseA شرکت Fermentas، کلریدسدیم شرکت Merck، آنتی‌بیوتیک آمپیسیلین و آغازگرهای F:5'-AAGGCTAGCCAGTGTGGAAA-3' و R:5'-AGATGGTGTACTCCACGTCA-3'

pGEM-T یک وکتور خطی با T مفرد آویزان انتهایی در انتهایهای ۳' است که به این شکل از حلقوی شدن وکتور جلوگیری کرده و کارایی واکنش لیگاسیون را با فرآورده تکثیری پی.سی.آر تولید شده با دی.ان.ای پلیمرازهای معین مقاوم به حرارت که یک A به انتهایهای ۵' آنها اضافه می‌کند، افزایش می‌دهد. این وکتور، یک وکتور high-copy-number پرده و شامل pROMOTORهای T7 و SP6RNA پلیمراز که در طرفین ناحیه سایت‌های برشی (Multiple Cloning Region) آن قرار دارند، است. ناحیه سایت‌های برشی آن هم در داخل ناحیه کدکننده α-پیتید آنزیم β-گالاکتوزیداز واقع شده است.

#### کشت گیاهان و اعمال تیمار تنش شوری

در این پژوهش، بذور با تراکم ۸-۱۰ بذر در هر گلدان (گلدان‌های با ظرفیت ۵/۳ لیتر)، که با خاک معمولی پر شده بودند در عمق ۱ سانتی‌متری کشت شدند. سپس به مدت دو هفته، هر گلدان با ۴۰۰ میلی‌لیتر آب آبیاری معمولی، هر چهار روز یکبار آبیاری شد. پس از دو هفته که گیاهچه‌ها تا ارتفاع ۱۰ تا ۱۵ سانتی‌متری رشد کرده بودند تنش شوری به مدت ۱۰ روز با آب نمک با EC ۱۵ ds/m (۸g NaCl در یک لیتر آب مقطر) و سپس به مدت ۵ روز با آب نمک با EC ۱۰ ds/m (۴/۹۶g NaCl در یک لیتر آب مقطر) جهت القا بیان ژن‌های مقاومت به تنش شوری اعمال شد (شکل ۱). پس از این دوره، برگ‌های جوان برداشت شدند و پس از شستشو با آب مقطر بلافالصله مورد استخراج آر.ان.ای قرار گرفتند.

#### استخراج آر.ان.ای و تعیین کمیت و کیفیت آن

نمونه‌های برگی با استفاده از ازت‌مایع در هاون چینی پودر شده و

باکتری از فریزر -۷۰ درجه سانتی گراد و محصول واکنش لیگاسیون از فریزر -۲۰ درجه سانتی گراد خارج شده و به مدت ۱۵ دقیقه روی یخ قرار گرفتند، سپس نصف محصول واکنش لیگاسیون ( $1\text{ }\mu\text{l}$ )<sup>(۵)</sup> به روی  $50\text{ }\mu\text{l}$  سلول مستعد *E.coli* اضافه و به آرامی مخلوط شدند و به مدت ۴۵ دقیقه روی یخ قرار داده شدند. سپس نمونه‌ها ۴۲ ثانیه در دمای ۴۲ درجه سانتی گراد قرار گرفتند و به سرعت ۲ دقیقه به روی یخ منتقل شدند. در ادامه ۸۵۰ میکرولیتر محیط کشت LB مایع بدون آنتی‌بیوتیک به نمونه‌ها اضافه و به مدت یک ساعت با سرعت  $180\text{ rpm}$  در دمای ۳۷ درجه سانتی گراد در انکوباتور شیکردار قرار گرفتند. در نهایت حدود  $1\text{ }\mu\text{l}$  از سلول‌های باکتریایی ترانسفورم شده، روی محیط LB ای جامد حاوی آنتی‌بیوتیک مناسب و IPTG و X-Gal کشت شدند و به مدت یک شب در انکوباتور با دمای ۳۷ درجه سانتی گراد قرار داده شدند. سپس کلنی‌های سفیدرنگ با انجام پی.سی.آر روی آنها تایید شدند و با استفاده از روش استخراج پلاسمید پیشنهاد شده توسط بیرنسویم و دالی<sup>(۶)</sup>، که به اختصار Miniprep نامیده می‌شود، مورد استخراج پلاسمید قرار گرفتند. با انجام پی.سی.آر دیگری روی پلاسمیدهای استخراج شده و تایید آنها، برای توالی‌یابی به مرکز توالی‌یابی کره جنوبی ارسال شدند.

## نتایج و بحث

### لیگاسیون شوری

با توجه به پژوهش‌های صورت گرفته، رایج‌ترین روش اعمال تنش شوری، با نمک NaCl روی گیاهان رشد کرده در محیط *in vitro* و نمونه‌برداری حدوداً ۴۸ ساعت پس از اعمال تنش بوده است ولی در این پژوهش سعی شد شرایط اعمال تنش به طور تقریبی مشابه شرایط مزرعه‌ای باشد و بنابراین کشت بذور در خاک انجام شد. با در نظر گرفتن این شرایط، که ریشه گیاهان مانند شرایط *in vitro* در تماس مستقیم با محلول نمکی نبوده‌اند پیش‌بینی شد که تنش شوری روی گیاهان نسبت به شرایط *in vitro* دیرتر موثر واقع شود و از این‌رو نمونه‌های برگی ۱۰ روز پس از اعمال تنش نمونه‌برداری شده و مورد بررسی قرار گرفتند.

RNasin و ۱ میکرولیتر آنزیم M-MuLV به محلول واکنش اضافه شده و نمونه‌ها  $2/5$  ساعت در دمای ۳۷ درجه سانتی گراد قرار داده شدند. پس از اتمام این مراحل، cDNA ای حاصل به نسبت ۱ به ۱ با آب مقطر استریل رقیق شد و از cDNA ای رقیق شده در واکنش پی.سی.آر استفاده شد. برای نگهداری cDNA ساخته شده، نمونه‌ها در دمای -۲۰ سانتی گراد قرار داده شدند.

### واکنش زنجیره‌ای پلیمراز و خالص‌سازی فرآورده تکثیری

واکنش زنجیره‌ای پلیمراز (پی.سی.آر) برای تکثیر ژن مورد نظر از روی cDNA و اثبات حضور فیزیکی ژن در وکتور کلونینگ مورد استفاده قرار گرفت. برای تهیه ۲۰ میکرولیتر واکنش پی.سی.آر،  $4\text{ }\mu\text{l}$  Master mix  $0/2\text{ }\mu\text{l}$  آغازگر Forward،  $0/2\text{ }\mu\text{l}$  معکوس و  $50$  نانوگرم cDNA، به  $14/6\text{ }\mu\text{l}$  آب مقطر استریل اضافه شد. برنامه‌ی استاندارد پی.سی.آر شامل مرحله‌ی واسرشته‌سازی اولیه به مدت ۲ دقیقه در ۹۴ درجه سانتی گراد و در ۳۰ دقیقه شد. برای افزایش تکثیر که شامل ۳۵ چرخه و هر چرخه شامل ۳۰ ثانیه دمای ۹۴ درجه سانتی گراد، ۳۰ ثانیه دمای ۵۵ درجه سانتی گراد و ۸۰ ثانیه دمای ۷۲ درجه سانتی گراد و در نهایت یک مرحله‌ی پایانی شامل ۱۰ دقیقه در دمای ۷۲ درجه سانتی گراد بود. نیمی از فرآورده تکثیری پی.سی.آر روی ژل آگاراز ۱ درصد بارگذاری شدند، تا باندهای تکثیر شده، جدا و تجزیه شوند. پس از آنکه باند موردنظر مشاهده شد، باقی‌مانده فرآورده تکثیری پی.سی.آر تایید شده با استفاده از فنل کلروفرم و نمک NaCl  $5$  مولار خالص‌سازی و رسوب داده شد.

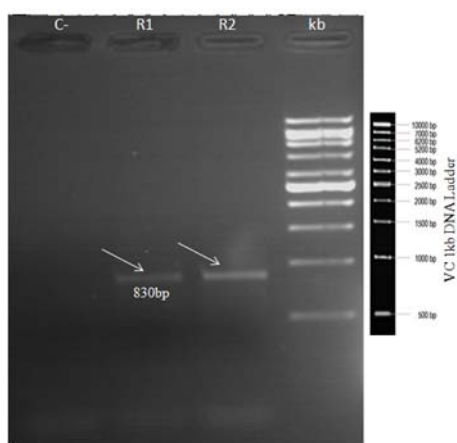
### لیگاسیون قطعات دی.ان.ای

برای اتصال دو قطعه‌ی دی.ان.ای، مواد لازم برای  $1\text{ }\mu\text{l}$  واکنش لیگاسیون شامل  $100-300\text{ ng}$  (۰/۵-۱/۰  $\mu\text{l}$ ) دی.ان.ای وکتور pGEM-T، دی.ان.ای الحاقی (فرآورده تکثیری پی.سی.آر خالص‌سازی شده) به نسبت  $3$  برابر وکتور ( $1\text{ }\mu\text{l}$  یا  $900\text{ ng}$ ) بافر T4-DNA ligase  $2\times$  و واحد آنزیم  $0/5\text{ }\mu\text{l}$  (۰/۵-۳  $\mu\text{l}$ ) و آب مقطر استریل در تیوب استریل  $0/5\text{ ml}$  ریخته شد و به مدت ۱ ساعت در دمای اتاق و سپس به مدت یک شب در دمای ۴ درجه سانتی گراد قرار داده شدند.

**استحاله سلول‌های باکتریایی به روش شوک حرارتی (Heat-shock)**  
برای استحاله به روش شوک حرارتی، ابتدا سلول‌های مستعد

نوترکیب‌ها (کلنهای سفید) را از طریق غربالگری blue-white می‌دهد (شکل ۴). با استناد به این ویژگی وکتور، تعدادی از کلنهای نوترکیب (سفید) انتخاب و درستی واکنش لیگاسیون با انجام پی.سی.آر روی آن کلنهای تایید شد (شکل ۵).

وکتور pGEM-T-Tf به روش شوک حرارتی به باکتری *E. coli* منتقال یافته، و سلول‌ها روی محیط حاوی  $100\text{ }\mu\text{g/ml}$  آمپیسیلین گزینش شدند (شکل ۴ الف). برخی از قطعات الحاقی که وارد وکتور نشده‌اند ولی در محیط کشت گزینشی بلو-وایت به تصادف در مجاورت کلنهای نوترکیب (سفید) قرار گرفته‌اند، ممکن است هنگام انجام واکنش پی.سی.آر روی کلنهای همراه پلاسمید نوترکیب وارد تیوب واکنش پی.سی.آر شده و به عنوان الگوی واکنش واقع شوند. برای رفع این احتمال، از هر کلنهای نوترکیب مورد نظر از طریق تماس دادن با خلال دندان استریل یک خط به طول تقریبی ۱ سانتی‌متر روی محیط LB ای جامد حاوی آنتی‌بیوتیک آمپیسیلین کشیده شد و به مدت ۶ ساعت در دمای ۳۷ درجه سانتی‌گراد انکوبه شدند. واکنش پی.سی.آر برای

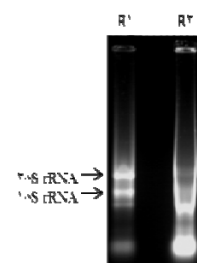


شکل ۳- الکتروفورز محصول پی.سی.آر حاصل از تکثیر cDNA جزئی ژن ترانسفرین، با استفاده از جفت آغازگرهای اختصاصی طراحی شده. باند ۸۳۰ جفت بازی که با اندازهٔ مورد انتظار برای بخشی از ژن ترانسفرین مطابقت داشت، با استفاده از آغازگرهای پیشرو و پسرو تکثیر شد. R1 و R2 دو تکرار مستقل از هم هستند.

Figure 3- Electrophoresis of PCR product Obtained from partial cDNA amplified by using specific primers of transferrin gene. 830 bp fragment in accordance with the expected size of partial transferrin gene amplified by Forward and Reverse primers. R1 and R2 are two independent replications.

## استخراج آر.ان.ای

استخراج آر.ان.ای از نمونه‌های برگی پودر شده با استفاده از روش ترایزول انجام گرفت. کمیت آر.ان.ای استخراج شده با استفاده از دستگاه اسپکتروفوتومتری به طور میانگین  $1/276\text{ }\mu\text{g}/\text{ml}$  برآورد شد. کیفیت آن هم با استفاده از الکتروفورز ژل آگارز بررسی شد (شکل ۲). با توجه به این شکل، تکرار شماره یک آر.ان.ای کیفیت بهتری نشان داد بنابراین برای ساخت cDNA از آن استفاده شد.



شکل ۲- نتیجه‌ی سنجش کیفیت آر.ان.ای استخراج شده. مشاهده‌ی باندهای ۲۸S rRNA و ۱۸S rRNA و عدم وجود حالت اسمایر در نمونه‌های آر.ان.ای استخراج شده، نشان‌دهنده‌ی کیفیت مناسب آر.ان.ای است. R1 و R2 دو تکرار مستقل از هم هستند.

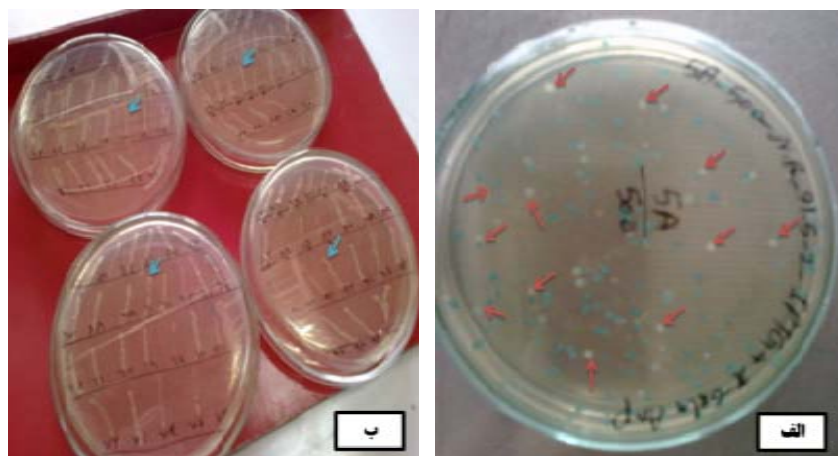
Figure 3- Quality assessment of extracted RNA. Observation of 28S and 18S rRNA fragments and absence of smear band in the RNA samples showed the good quality of extracted RNA. R1 and R2 are two independent replications.

## تکثیر cDNA جزئی ژن Transferrin

بر اساس روش RT-PCR، پس از ساخت cDNA گندم، تکثیر cDNA جزئی ژن ترانسفرین با استفاده از جفت آغازگرهای اختصاصی که براساس تووالی‌های موجود در سایت NCBI با کد دسترنسی U77059.1 طراحی شده بودند، انجام شد و باند ۸۳۰ جفت بازی که با اندازهٔ مورد انتظار برای بخشی از ژن ترانسفرین مطابقت داشت، تکثیر شد (شکل ۳).

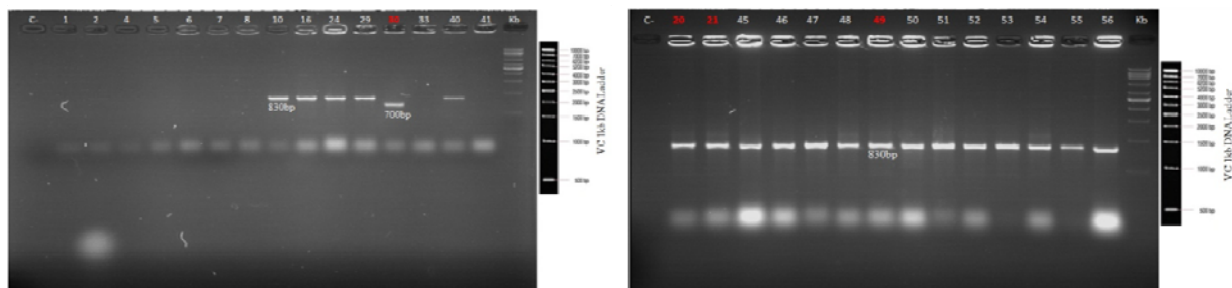
## کلونینگ cDNA تکثیر شده در وکتور pGEM-T

cDNA تکثیر شده از واکنش RT-PCR برای بخشی از ژن ترانسفرین، پس از خالص‌سازی از روی باقی‌مانده محصول پی.سی.آر، در وکتور pGEM-T کلون شد. در این وکتور غیرفعال شدن  $\alpha$ -پتید با وارد شدن دی.ان.ای الحاقی، اجازه شناسایی



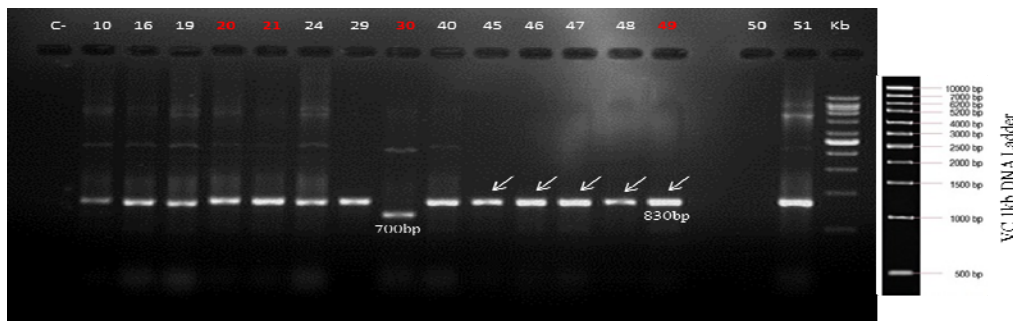
شکل ۴- الف- تصویر باکتری های رشد کرده روی محیط LB ای جامد حاوی آمپیسیلین + IPTG + X-Gal، پس از استحاله آنها با وکتور pGEM-T-Tf. پیکان ها برخی از کلنی های سفید را نشان می دهند. ب- تصویر باکتری های رشد کرده روی محیط LB ای جامد حاوی آمپیسیلین، پس از کشت دوباره کلنی های موجود در شکل ۴ الف با استفاده از خلال دندان استریل. اعداد بالای کلنی های خطی، شماره کلنی مربوطه است. پیکان ها برخی از کلنی های خطی را نشان می دهند.

Figure 4- A: Bacteria image was grown on LB medium containing ampicillin + X-Gal + IPTG after transformation with the pGEM-T-Tf vector. Arrows show some white colonies. B: Bacteria grown on solid LB medium containing ampicillin after colonies re-culture (in 4a figure) using a sterile toothpick. Numbers on the linear colonies is the number of colonies. Arrows show some linear colonies.



شکل ۵- تصویر الکتروفورز محصول پی.سی.آر حاصل از بررسی تعدادی از کلنی های نوترکیب رشد کرده روی محیط انتخابی پس از استحاله با محصول لیگاسیون با استفاده از آغازگر اختصاصی بخشی از ژن ترانسفرین. الف و ب: هر کدام تعدادی از کلنی های نوترکیب که واکنش پی.سی.آر روی آنها صورت گرفته، نشان می دهد. مشاهده باند ۸۳۰ bp حضور فیزیکی قطعه کلون شده در کلنی ها را تایید می کند. Kb: نشانگر اندازه، C: کنترل منفی، اعداد: شماره بیست و نه کلنی از کلنی های رشد کرده در محیط انتخابی، اعداد به رنگ قرمز: شماره کلنی هایی که دی.ان.ای پلاسمید آنها برای توالی یابی ارسال شده است.

Figure 5- Electrophoresis image of PCR products by using specific Primers for the partial transferrin gene on a few of recombinant colonies grown on the selective medium after transformation with Ligation products. A and B respectively show a number of recombinant colonies was carried out PCR reactions on them. Observation the 830 bp fragment is confirmed physical presence of the amplified fragment in the colonies. Kb: size marker, C-: negative control, Numbers: Twenty-nine number from colonies grown on selective medium, Red numbers: Number of colonies that their DNA plasmid was sent for sequencing.



شکل ۶- تصویر الکتروفورز محصول پی.سی.آر حاصل از بررسی تعدادی از پلاسمیدهای نوترکیب استخراج شده، با استفاده از جفت آغازگر اختصاصی بخشی از ژن ترانسفرین. مشاهده باند ۸۳۰ bp حضور فیزیکی قطعه کلون شده در کلنی‌ها را تایید می‌کند. Kb: نشانگر اندازه، C-: کنترل منفی، اعداد: شماره شانزده کلنی از کلنی‌های رشد کرده در محیط انتخابی، فلش‌ها: تکباند واضح کلنی‌های شماره ۴۵ تا ۴۹، اعداد به رنگ قرمز: شماره کلنی‌هایی که دی.ان.ای پلاسمید آنها برای توالی‌بایی ارسال شده است.

Figure 6- Electrophoresis image of PCR products to a number of recombinant plasmid by using specific primers of the transferrin gene. Observation of 830 bp fragment confirmed physical presence of the amplified fragment in the colonies. Kb: size marker, C-: negative control, Numbers: Sixteen colonies grown on selective medium, Arrows: Obvious band of 45 to 49 colonies, Red numbers: Colonies that their DNA plasmid was sent for sequencing.

```

TCGTCTAGCCAGTTGGAAAGTCCCTCTTTATTAAAACCTGTGCGGCCCTAGACTGGCGGGCTAGGTTACTCACTCTTCT
CGGGAGATTGTTATCGCTGGATATCTGGCCTGCCACGAGGTACTCGCGCGTGTCTTCTTCCCTGAAATCTGATGAGCAC
AGTTACCAATAATTACCATGACCCCTAGTGTCTACATGTCACTTCTACGTTTGATCTTGCTTGTATTAGTTCC
CCCTTATCAAATAATCTTACTGGGAGCCTTCGGAGGAGAGAATCGGCTGTTATATGGCCAACAGGATACCGTAATTCTGG
AAAATCTTCAAGAAAAGCGGGGCTGCCAGTTCGGGGCTATGGGGCTCTTCCCCCAGGGAGTAAATGAAC
GCCAGGCCTCGAAGAGTAAGCCAGCTATATCCCATTCAATGACCATGACAGCAGGTTCTGCTCTAACGATCGCTCTTCT
CGCCGGGCTCAAACCTGGTGAATTGCTCTCTGGGGGATCAACAGAGCCTGAAATGACAATCTGCTTCTATGCTGGTTTC
ACTGICCAGGGACTGTCCCTCTCCCTCATTCTCGCAGTGTACTTGCTCAAATACACTGCCTGTCCTGCCCACTACCGTT
TCGATCAGGTTAAGTATTCTGTTCTTTTTAA

```

شکل ۷- توالی کلنی شماره ۴۹

Figure 7- No. 49 colony Sequence.

استخراج پلاسمید انتخاب شدند. پس از استخراج پلاسمید، برای تایید نهایی حضور cDNA ژن ترانسفرین در کلون شده، پی.سی.آر دیگری روی دی.ان.ای پلاسمید استخراج شده با استفاده از جفت آغازگر اختصاصی استفاده شده در کلونینگ انجام شد. نتیجه این واکنش نشان داد که قطعه‌ای با اندازه‌ی تقریبی ۸۳۰ جفت باز در این وکتور کلون شده است (شکل ۶). بنابراین، تعداد ۴ عدد از نمونه‌های دی.ان.ای وکتور حاصل برای تعیین توالی به مرکز توالی‌بایی کره جنوبی ارسال شد.

#### نتایج توالی‌بایی cDNA ژن ترانسفرین

برای بررسی توالی cDNA ژن ترانسفرین در ۴ نمونه از پلاسمیدهای استخراج شده از کلنی‌های ارزیابی شده در مراحل قبلی، جهت توالی‌بایی به مرکز توالی‌بایی کره جنوبی ارسال شد. نتایج بدست آمده از توالی‌بایی با بخشی از توالی ثبت شده برای cDNA ژن

تایید کلنی‌های نوترکیب روی این کلنی‌های جدید انجام گرفت (شکل ۴ ب).

#### مراحل تایید کلنی‌ها برای حضور بخشی از ژن ترانسفرین پس از استحاله E. coli با وکتور pGEM-T-Tf

با توجه به اینکه توالی‌بایی قطعه cDNA ژن ترانسفرین نشده برای بخشی از ژن ترانسفرین هنوز مشخص نشده بود، بنابراین تعدادی از کلنی‌های رشد کرده پس از واکنش استحاله با پلاسمید کلون شده در دو مرحله آزمایش شدند. بدین ترتیب که ابتدا کلنی‌های انتخاب شده به روش پی.سی.آر و با استفاده از جفت آغازگر اختصاصی استفاده شده در کلونینگ، مورد ارزیابی قرار گرفتند (شکل ۵). در مرحله دوم، تعدادی از کلنی‌هایی که در پی.سی.آر مثبت بودند (باند مورد نظر را نشان دادند) برای

جداسازی بخشی از cDNA از ژن ترانسفرین (*Tf*) از ...

شکل-۸- بین توالی ژن *TTF-1* جلبک *D. salina* (با کد دسترسی U77059.1) و توالی حاصل از کلني شماره ۴۹، ۸۴ درصد شباهت نوکلئوتیدی وجود دارد.

Figure 8- There is 84% nucleotide similarity between TTF-1 gene sequence of *D. salina* (with 77059.1U access code) algae and sequence of No. 49 colony.

(2013).

**نتیجه‌گیری نهایی**

با توجه به شباهت سیستم‌های گیاهی و جلبک‌ها، جفت آغازگر مورد استفاده در این پژوهش بر اساس توالي CDS ژن *Ttf-1* (با کد دسترسی U77059.1) طراحی شد. با استناد به نتیجه این پژوهش و تشابهاتی که بین ژنهای ترانسفرین انسانی و جلبک *D. salina* وجود دارد، می‌توان نتیجه گرفت که توالي کلني شماره ۴۹ به یک ژن ترانسفرین در گیاه گندم زراعی تعلق دارد. این اولین گزارش از وجود ژن ترانسفرین در سیستم گیاهان عالی است. البته با توجه به اینکه تاکنون هیچ گزارشی مبنی بر وجود ژن ترانسفرین در سیستم گیاهان عالی وجود ندارد، لازم است این آزمایش با استفاده از همین جفت آغازگر و آغازگرهای دیگر این ژن، تکرار و مجدد تایید شود. لازم به ذکر است با اینکه اندازه‌ی باند مربوط به کلني شماره ۴۹ در روی ژل آکارز ۸۳۰ جفت باز بوده ولی فقط ۷۰۹ جفت باز آن قرائت شده و بقیه به علت قطع شدن چارچوب قرائت، توالي‌یابی نشده است.

با اثبات وجود ژن ترانسفرین در گیاهان، دیگر نیازی به تولید گیاهان تاریخته این ژن نخواهد بود و همچنین پروتئین ترانسفرین گیاهی نسبت به ترانسفرین‌های جانوری که خطر آلودگی به پاتوژن‌های انسانی را دارند، برای کاربردهای پژوهشی ایمن‌تر خواهد بود.

**تشکر و قدردانی:** از معاونت محترم پژوهشی دانشگاه شهید مدنی آذربایجان بخاطر در اختیار قرار دادن امکانات مالی این پژوهش تقدیر و تشکر می‌شود.

**منابع**

- Cohen C K, Fox T C, Garvin D F, Kochian L V. 1998. The role of iron-deficiency stress responses in stimulating heavy-metal transport in plants. *Plant Physiology* 116: 1063-1072.
- Connolly E L, Guerinet M L. 2002. Iron stress in plants. *Genome Biology* 3(8): 1024.1-1024.4.
- Dautry-Varsat A, Ciechanover A, Lodish H F. 1983. pH and the recycling of transferrin during receptor-mediated endocytosis. *Cell Biology* 80:2258-2262.
- Fisher M, Gokhman I, Pick U, Zamir A. 1997. A structurally novel transferrin-like protein accumulates in the plasma membrane of the unicellular green alga *Dunaliella salina* grown in high salinities. *The Journal Of Biological Chemistry* 272(3-17): 1565-1570.
- Fisher M, Zamir A, Pick U. 1998. Iron uptake by the halotolerant alga *Dunaliella* is mediated by a plasma membrane transferrin. *The Journal Of Biological Chemistry* 273(28): 17553-17558.
- Jithesh M N, Prashanth S R, Sivaprakash K R, Parida A K. 2006. Antioxidative response mechanisms in halophytes: their role in stress defence. *Journal of Genetics* 85(3): 237-254.
- Katz A, Waridel P, Shevchenko A, Pick U. 2007. Salt-induced changes in the plasma membrane proteome of the halotolerant alga *Dunaliella alina* as revealed by blue native gel electrophoresis and Nano-LC-MS/MS

ترانسفرین در سایت NCBI (شماره دستیابی U77059.1) با استفاده از نرم‌افزار آنلاین MultAlin مقایسه شد (http://multalin.toulouse.inra.fr/multalin/). نتایج بدست آمده نشان داد که یک مورد از توالي‌های تجزیه شده، با ۸۴ درصد شباهت، منطبق بر توالي ثبت شده بودند (شکل ۸). توالي کلني شماره ۴۹ در شکل ۷ مشاهده می‌شود.

ترانسفرین سرم انسانی کاربرد گسترده‌ای در محیط‌های کشت سلولی برای تولید پروتئین‌های زیست دارویی و واکسن‌ها (برای اطمینان از تجهیز سلول‌ها به آهن) دارد و همچنین استفاده از آن به عنوان یک سیستم درمانی و رهاسازی هدفمند دارو (با توجه به حضور گیرنده ترانسفرین در تمام سلول‌ها به استثنای سلول‌های بسیار تمايز یافته) برای درمان تعدادی از بیماری‌ها در حال بررسی و کشف است. در حال حاضر به دلیل نگرانی‌های ناشی از آلوگی‌های عوامل پاتوژنیک ترانسفرین حاصل از پلاسمای انسانی، تولید ترانسفرین نوترکیب انسانی در سیستم‌های بیان هتروولوگوس گوناگون مورد هدف واقع شده است. به عنوان مثال ترانسفرین نوترکیب انسانی فعال از نظر زیستی، در دانه‌های برنج (*Oryza sativa L.*) در یک سطح بیان بالا تولید شده است (تقرباً ۴۰ درصد کل پروتئین محلول یا ۱ درصد وزن خشک دانه) و همچنین در گیاه تنباکو (*Nicotiana tabacum L.*) بیان ترانسفرین نوترکیب انسانی فعال از لحظه زیستی، به طور معنی داری کمتر بود (۰/۲۵ درصد کل پروتئین محلول). ولی با این حال هزینه بالا و عملکرد محدود ترانسفرین نوترکیب از چالش‌های اصلی بسیاری از سیستم‌های بیان است (Zhang, 2007).

- analysis. Molecular & Cellular Proteomics 6: 1459-1472.
8. Lamberta L A, Perri H, Halbrooks P J, Masonb A B. 2005. Evolution of the transferrin family: Conservation of residues associated with iron and anion binding. Biochemistry and Molecular Biology 142(2):129-141.
  9. Laskey J, Webb I, Schulman H M, Ponka P. 1988. Evidence that transferrin supports cell proliferation by supplying iron for DNA synthesis. Experimental Cell Research 176(1):87-95.
  10. Litwin C M, Calderwood S B. 1993. Role of iron in regulation of virulence genes. Clinical Microbiology Review 6(2):137-149.
  11. Myouga F, Hosoda C, Umezawa T, Lizumi H, Kuromori T, Motohashi R, Shono Y, Nagata N, Ikeuchi M, Shinozaki K. 2008. A heterocomplex of iron superoxide dismutases defends chloroplast nucleoids against oxidative stress and is essential for chloroplast development in *Arabidopsis*. The Plant Cell 20(11): 3148-3162.
  12. Paz Y, Shimoni E, Weiss M, Pick U, 2007. Effects of iron deficiency on iron binding and internalization into acidic vacuoles in *Dunaliella salina*. Plant Physiolgy 144(3): 1407-1415
  13. Pick U, Katz A, Weiss M, Levine E, Paz K, Ventrella R. 2006. Survival at extreme salinity and iron deficiency. Life Sciences 200-202.
  14. Ponka P, Lok C N. 1999. The transferrin receptor: role in health and disease. International Journal Biochem Cell Biology 31(10):1111-1137.
  15. Qin J, Dong W Y, He K N, Yu Y, Tan G D, Han L, Dong M, Zhang Y Y, Zhang D, Li A Z, Wang Z L. 2010. NaCl salinity-induced changes in water status, ion contents and photosynthetic properties of *Shepherdia argentea* (Pursh) Nutt. Seedlings. Plant Soil Environment 56(7): 325-332.
  16. Schwarz M, Sal-Man N, Zamir A, Pick U. 2003. A transferrin-like protein that does not bind iron is induced by iron deficiency in the alga *Dunaliella salina*. Biochimstry Biophysics Acta 1649(2):190-200.
  17. Turan M A, Hassan A, Elkarim A, Taban N, Taban S. 2010. Effect of salt stress on growth and iron distribution and accumulation in shoot and root of maize plant. African Journal of Agricultural Research 3(7): 584-588.
  18. Zhang D. 2013. Plant seed-derived human transferring: expression, characterization, and applications. OA Biotechnology 2(2):17.

